

Excp 3 Atividade 2 - Polarizações por reflexão

Eqs de Maxwell em meios materiais

$$\begin{array}{ll}
 \text{(i)} \quad \nabla \cdot \vec{D} = 0 & \text{(ii)} \quad \nabla \times \vec{E} = - \frac{\partial \vec{B}}{\partial t} \\
 \text{(iii)} \quad \vec{D} = \epsilon \vec{E} & ; \quad \vec{H} = \frac{1}{\mu} \vec{B} \\
 \text{(iv)} \quad \nabla \times \vec{H} = \frac{\partial \vec{D}}{\partial t} & ; \quad I = \frac{1}{2} \epsilon \sigma E^2 \times E^2
 \end{array}$$

→ O que acontece c/ a luz ao atravessar de um meio a outro?

- parte da luz é refletida

- .. " .. é transmit.

→ Vínculos dos C.C. na interface

$$\text{(i)} \quad \epsilon_1 E_1^\perp = \epsilon_2 E_2^\perp \quad \text{(iii)} \quad E_1'' = E_2''$$

$$\text{(ii)} \quad B_1^\perp = B_2^\perp \quad \text{(iv)} \quad \frac{1}{\mu_1} B_1'' = \frac{1}{\mu_2} B_2''$$

Incidéncia normal:

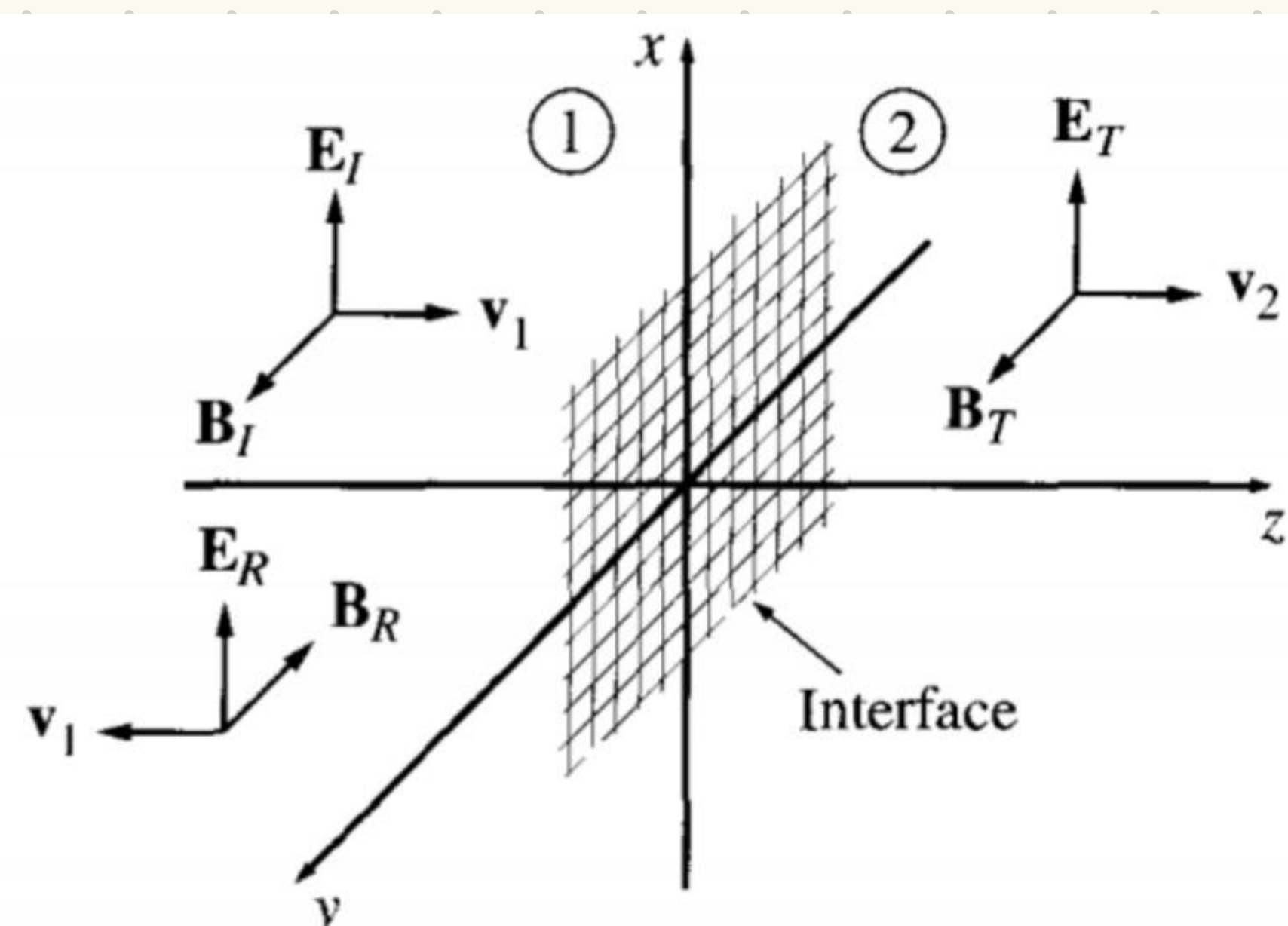


Figure 9.13

Ondas incidente:

$$\vec{E}_i(z,t) = \hat{E}_{ci} e^{i(K_1 z - \omega t)} \hat{x}$$

$$\vec{B}_i(z,t) = \frac{1}{\mu_i} \hat{E}_{oi} e^{i(K_1 z - \omega t)} \hat{y}$$

Ondas reflejadas:

$$\vec{E}_R(z,t) = \hat{E}_{cR} e^{i(-K_1 z - \omega t)} \hat{x}$$

$$\vec{B}_R(z,t) = -\frac{1}{\mu_i} \hat{E}_{cR} e^{i(-K_1 z - \omega t)} \hat{y}$$

Ondas transmitidas:

$$\vec{E}_T(z,t) = \hat{E}_{oT} e^{i(K_2 z - \omega t)} \hat{x}$$

$$\vec{B}_T(z,t) = \frac{1}{\mu_2} \hat{E}_{oT} e^{i(K_2 z - \omega t)} \hat{y}$$

Os campos nos meios (1) e (2) devem satisfazer as C.C. na interface:

Na inc. normal, não há componente de campo \perp à interface, logo:

$$C.C.(iii): \tilde{E}_{ci} + \tilde{E}_{CR} = \tilde{E}_{CT}$$

$$C.C.(iv): \frac{1}{N_1} \left(\frac{1}{U_1} \tilde{E}_{ci} - \frac{1}{U_1} \tilde{E}_{CR} \right) = \frac{1}{N_2} \left(\frac{1}{U_2} \tilde{E}_{CT} \right); \quad n_j = \frac{C}{U_j}; \quad j = 1, 2$$

Vamos considerar meios sem prop. mag., i.e., $U_1 \sim N_2 \sim M_0$

Na C.C.(iv): $\tilde{E}_{ci} - \tilde{E}_{CR} = \frac{n_2}{n_1} \tilde{E}_{CT}$

Soluções do sistema de eqs lineares:

$$\begin{cases} \tilde{E}_{CR} = \left(\frac{n_1 - n_2}{n_1 + n_2} \right) \tilde{E}_{ci} \\ \tilde{E}_{CT} = \left(\frac{2n_1}{n_1 + n_2} \right) \tilde{E}_{ci} \end{cases}$$

Incidência normal:

$$\left\{ \begin{array}{l} \tilde{E}_{CR} = \left(\frac{n_1 - n_2}{n_1 + n_2} \right) \tilde{E}_{ci} \\ \tilde{E}_{CT} = \left(\frac{2n_1}{n_1 + n_2} \right) \tilde{E}_{ci} \end{array} \right.$$

$$\left\{ \begin{array}{l} \rho_R = \frac{\tilde{E}_{CR}^2}{\tilde{E}_{ci}^2} ; \quad R = \frac{\langle \overrightarrow{S_R} \rangle \cdot \vec{K}_1}{\langle \overrightarrow{S_i} \rangle \cdot K_1} = \left(\frac{n_1 - n_2}{n_1 + n_2} \right)^2 \\ \rho_T = \frac{\tilde{E}_{CT}^2}{\tilde{E}_{ci}^2} ; \quad T = \frac{\langle \overrightarrow{S_T} \rangle \cdot \vec{K}_2}{\langle \overrightarrow{S_i} \rangle \cdot K_1} = \left(\frac{2n_1 n_2}{n_1 + n_2} \right)^2 \end{array} \right.$$

note que:

Se $n_1 > n_2 \Rightarrow \tilde{E}_{CR}$ em fase c/ \tilde{E}_{ci}

Se $n_1 < n_2 \Rightarrow \tilde{E}_{CR}$ fase de π c/
velocida a \tilde{E}_{ci}

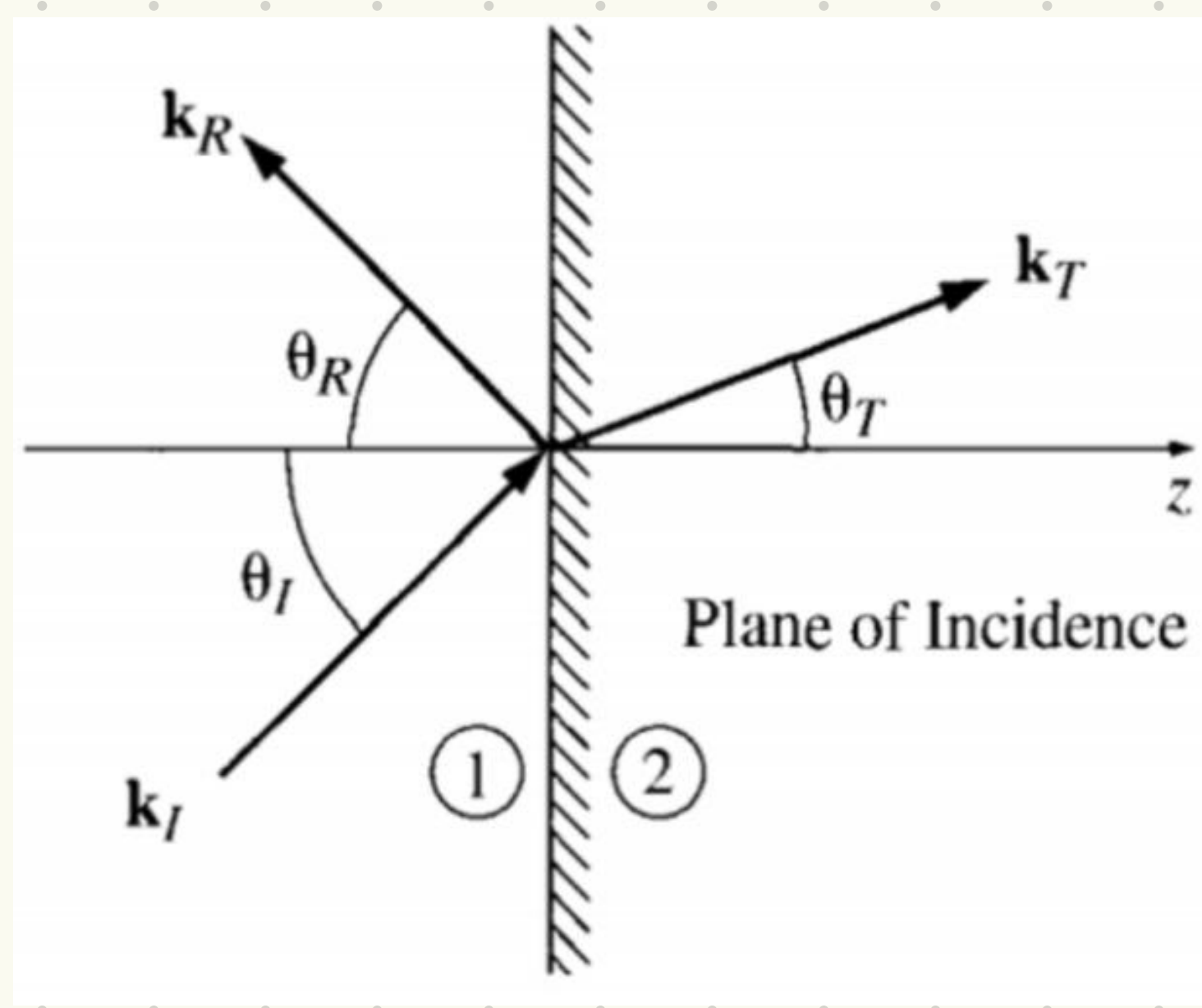
Conservação de energia: $R + T = 1$

Ex. Iluz iónio da ar as uids:

$$\left. \begin{array}{l} n_1 = 1,0 \\ n_2 = 1,5 \end{array} \right\} \quad R \approx 0,04 \quad T \approx 0,96$$

↳ a maioria parte da
iluz é transmitida

Incidência sobre:



- * Todos os ondas E.M.
possuem a mesma freq. (ω)
determinada pela fonte

Onda incidente:

$$\tilde{\vec{E}}_i(\vec{r},t) = \tilde{\vec{E}}_{0i} e^{i(\vec{k}_i \cdot \vec{r} - \omega t)}$$

$$\tilde{\vec{B}}_i(\vec{r},t) = \frac{1}{\mu_i} (\hat{\vec{k}}_i \times \tilde{\vec{E}}_i)$$

Onda refletida:

$$\tilde{\vec{E}}_R(\vec{r},t) = \tilde{\vec{E}}_{0R} e^{i(\vec{k}_R \cdot \vec{r} - \omega t)}$$

$$\tilde{\vec{B}}_R(\vec{r},t) = \frac{1}{\mu_i} (\hat{\vec{k}}_R \times \tilde{\vec{E}}_R)$$

Onda transmitida:

$$\tilde{\vec{E}}_T(\vec{r},t) = \tilde{\vec{E}}_{0T} e^{i(\vec{k}_T \cdot \vec{r} - \omega t)}$$

$$\tilde{\vec{B}}_T(\vec{r},t) = \frac{1}{\mu_z} (\hat{\vec{k}}_T \times \tilde{\vec{E}}_T)$$

$$\text{Ex. C.C. (iii)}: (\) e^{i(\vec{R}_i \cdot \vec{r} - \omega t)} + (\) e^{i(\vec{R}_R \cdot \vec{r} - \omega t)} = (\) e^{i(\vec{R}_T \cdot \vec{r} - \omega t)}$$

em $\mathcal{Z} = 0$ (interface)

p/ que c eq. acima seja vld p/ qualquer \vec{r} :

$$\vec{K}_i \cdot \vec{n} = \vec{K}_R \cdot \vec{n} = \vec{K}_T \cdot \vec{n}$$

$\underbrace{\hspace{10em}}$

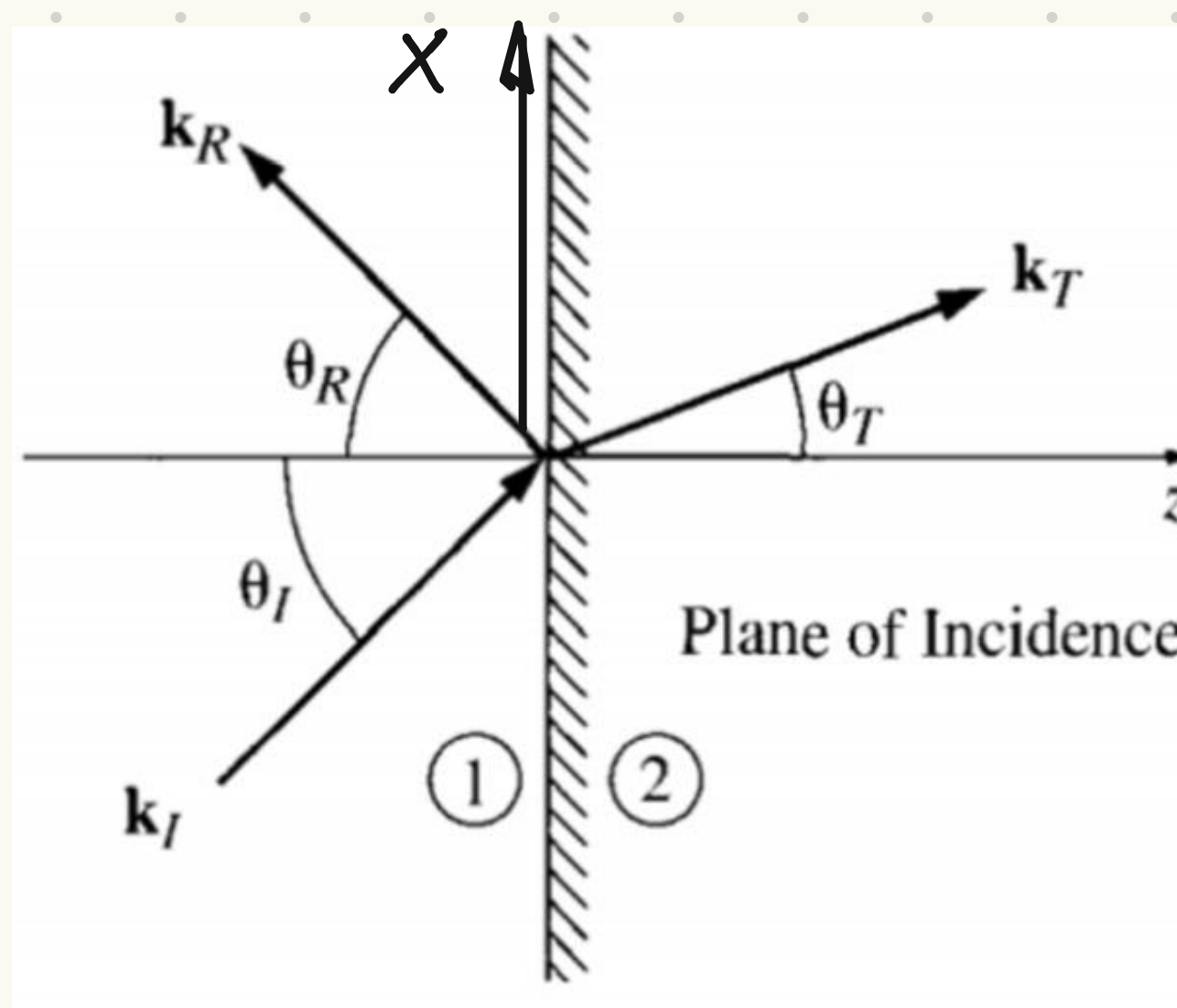
$$K_{ix}x + K_{iz}\mathcal{Z} = K_{Rx}x + K_{Rz}\mathcal{Z} = K_{Tx}x + K_{Tz}\mathcal{Z}$$

$\underbrace{\hspace{10em}}$

$$(I) \quad K_{ix} = K_{Rx} = K_{Tx} \quad \text{e} \quad (II) \quad K_{iz} = K_{Rz} = K_{Tz}$$

Observação (I) As ondas incidente, refletida e transm. formam um plano, que também contém o vetor normal à sup.
→ Plano de incidência

Incidence oblique:



$$(I) K_{ix} = K_{Rx} = K_{Tx}$$

$$K_i \sin \theta_i = K_R \sin \theta_R = K_T \sin \theta_T$$

$$K_i = n_1 K; K_R = n_1 K$$

$$K_i = n_1 K; K_T = n_2 K$$

$\sin \theta_i = \sin \theta_R$

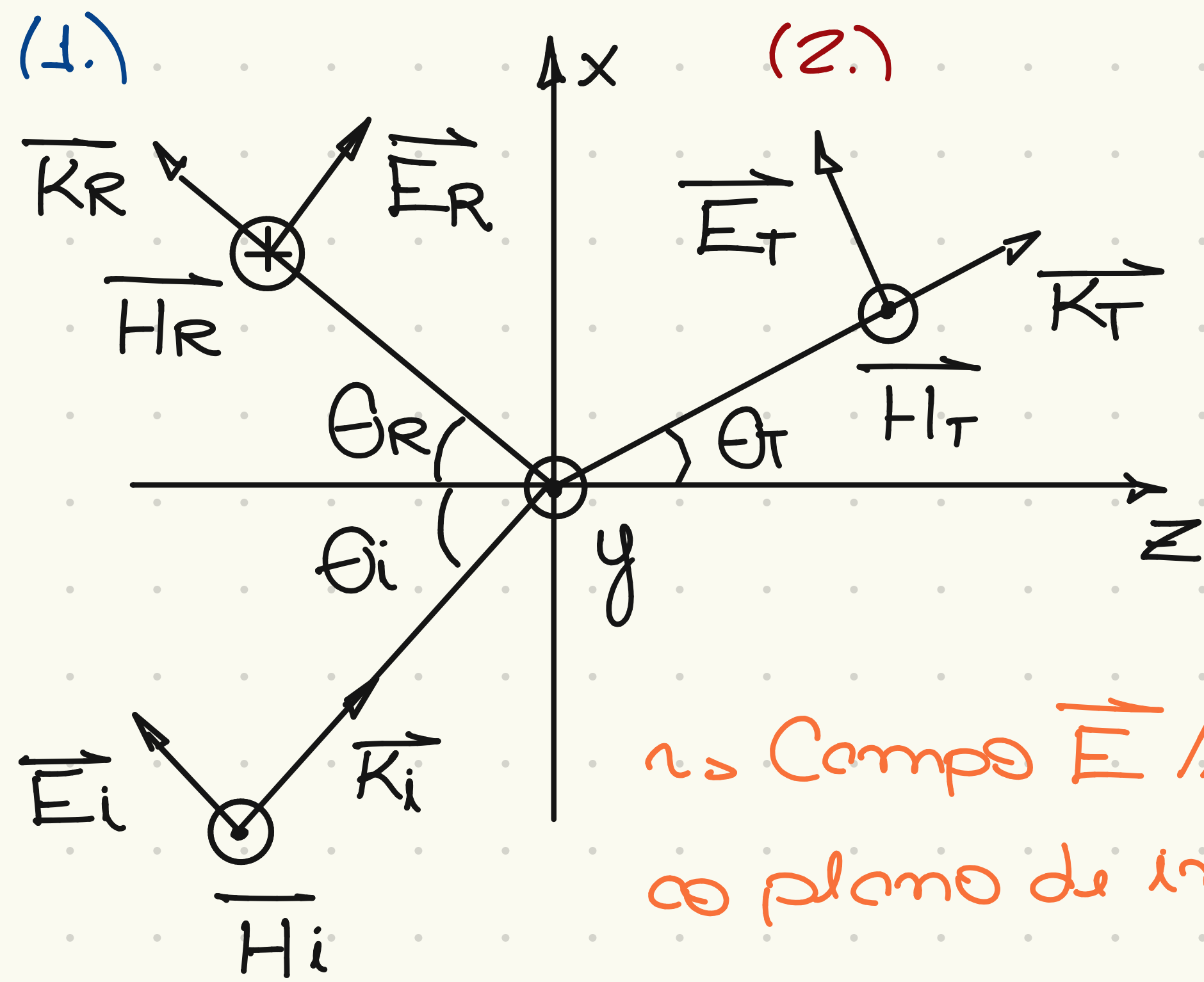
ou $\theta_i = \theta_R$

lei da reflexão

$n_1 \sin \theta_i = n_2 \sin \theta_T$

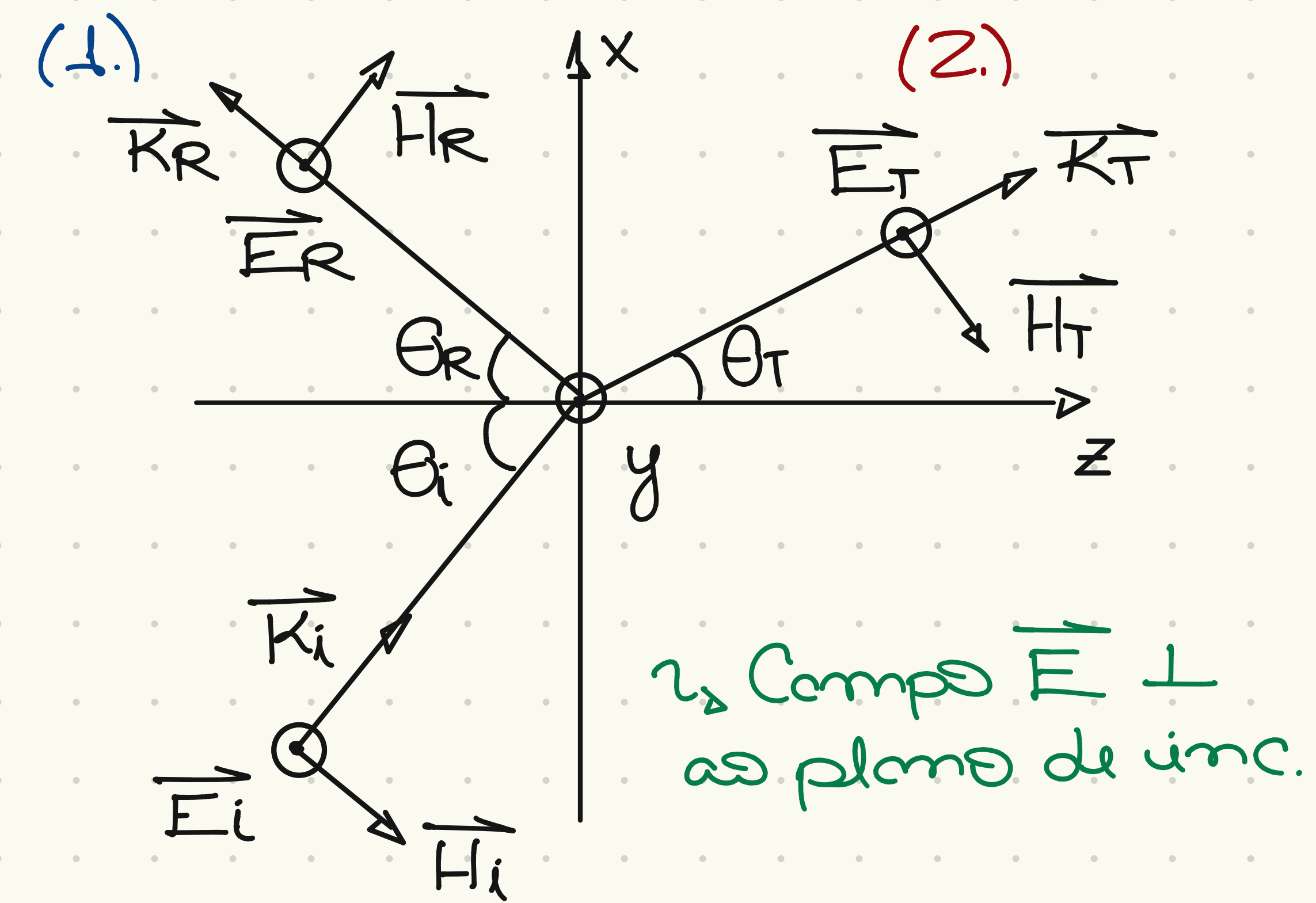
lei de Snell
ou da refração

Polarizados TM (onda p)



→ 2 formas auxiliar este caso!

Polarizados TE (onda s)



$$\text{C.C. (i)}: \tilde{H}_{O_i} - \tilde{H}_{CR} = \tilde{H}_{OT} \rightarrow K_1 (\tilde{E}_{O_i} + \tilde{E}_{CR}) = K_2 \tilde{E}_{OT}$$

$$\tilde{E}_{O_i} - \tilde{E}_{CR} = \frac{n_2}{n_1} \tilde{E}_{OT}$$

$$\text{C.C. (ii)}: (\tilde{E}_{O_i} + \tilde{E}_{CR}) \times \hat{n} = \frac{n_2}{n_1} \tilde{E}_{OT} \times \hat{n}$$

$$\tilde{E}_{O_i} \cos\theta_i + \tilde{E}_{CR} \cos\theta_R = \tilde{E}_{OT} \cos\theta_T \times -\frac{n_2}{n_1}$$

$$\tilde{E}_{O_i} \left[-\frac{n_2}{n_1} \cos\theta_i + \cos\theta_T \right] = \tilde{E}_{CR} \left[\cos\theta_T + \frac{n_2}{n_1} \cos\theta_R \right]$$

lembraendo que $\theta_R = \theta_i$:

$$\rho_R = \frac{\tilde{E}_{CR}}{\tilde{E}_{O_i}} = \frac{-n_2/n_1 \cos\theta_i + \cos\theta_T}{n_2/n_1 \cos\theta_i + \cos\theta_T}$$

inc. normal: $\theta_i = \theta_T = 0 \Rightarrow \rho_R = \frac{\tilde{E}_{CR}}{\tilde{E}_{O_i}} = \left(\frac{n_1 - n_2}{n_1 + n_2} \right)$

Onda P (pol. TM)

$$\rho_P = \frac{\tilde{E}_{CR}}{\tilde{E}_{oi}} = \frac{-n_2/n_1 \cos\theta_i + \cos\theta_T}{n_2/n_1 \cos\theta_i + \cos\theta_T}$$

Usando a lei de Snell ($\frac{n_2}{n_1} = \frac{\sin\theta_i}{\sin\theta_T}$), podemos demonstrar:

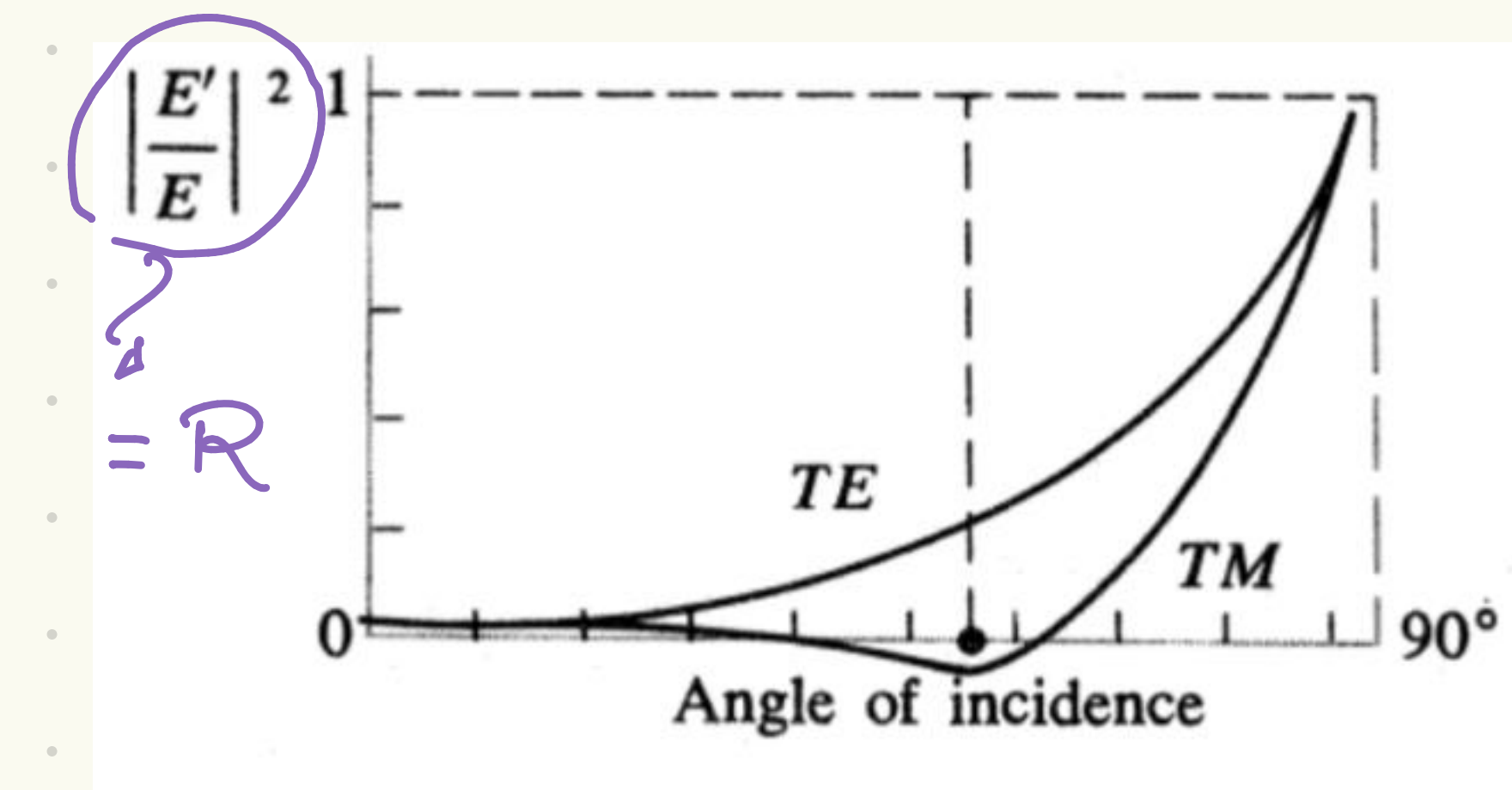
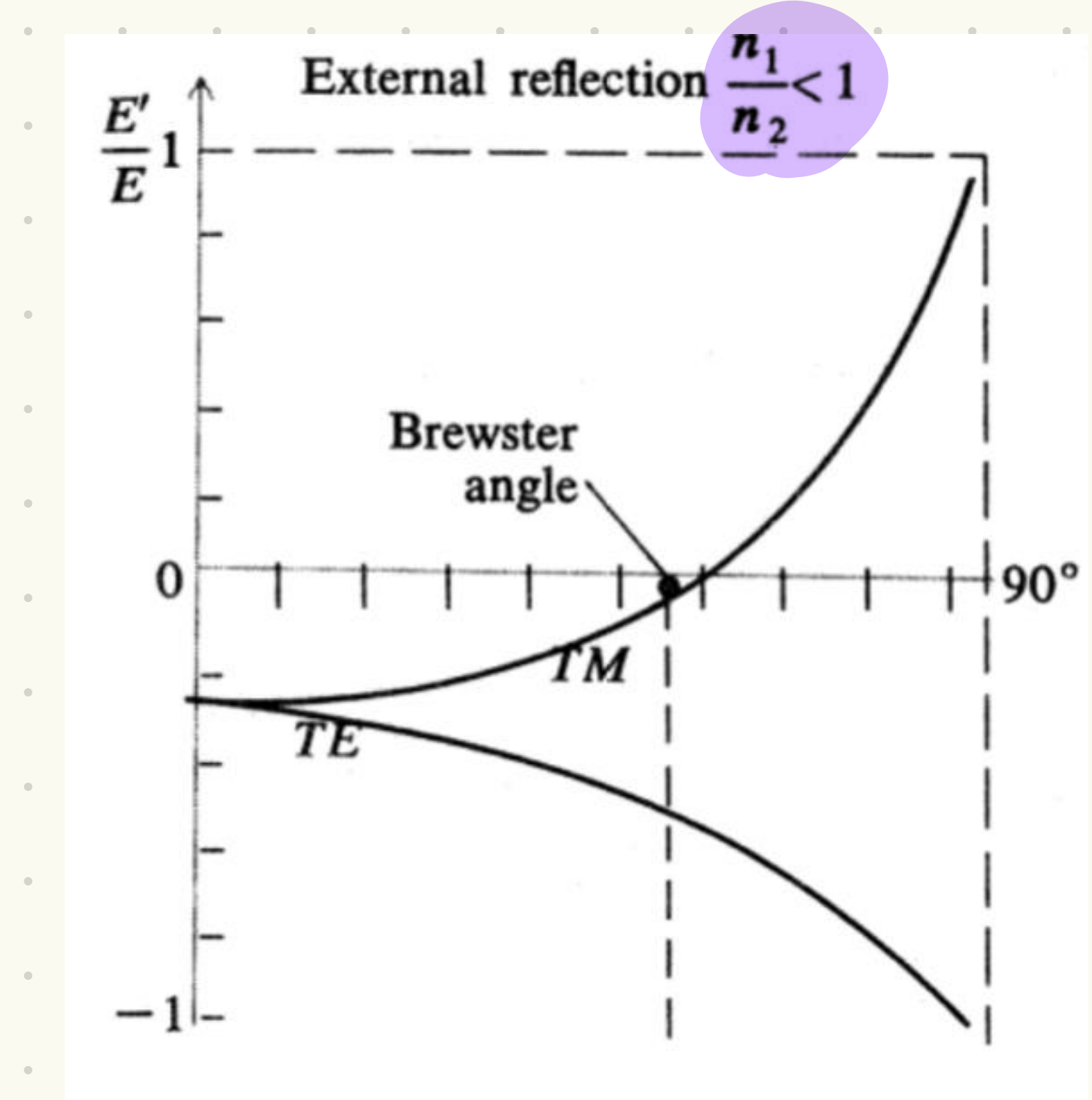
$$\rho_P = -\frac{\tan(\theta_i - \theta_T)}{\tan(\theta_i + \theta_T)}$$

De forma análoga, p/ a onda S (pol. TE):

$$\rho_S = \frac{\tilde{E}_{CR}}{\tilde{E}_{oi}} = \frac{\cos\theta_i - n_2/n_1 \cos\theta_T}{\cos\theta_i + n_2/n_1 \cos\theta_T}$$

$$\rho_D = -\frac{\sin(\theta_i - \theta_T)}{\sin(\theta_i + \theta_T)}$$

caso: $n_2 > n_1$



1. Inc. normal $\Theta_i = 0$

$$\Rightarrow \rho_p = \rho_s$$

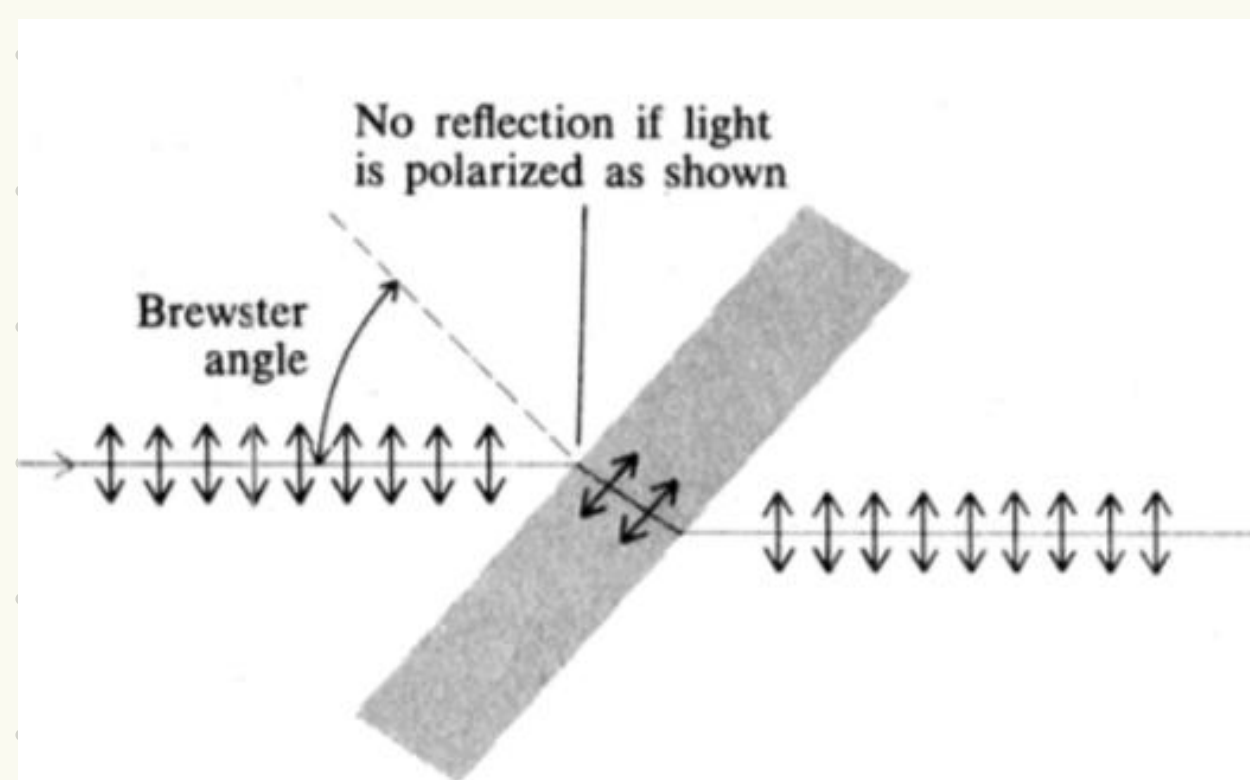
2. Onda TE adquire fase π na reflexão p/ todos os ang. de inc. Θ_i

3. Ang de Brewster (reflexão = 0) coincide p/ a onda P (pol TM)

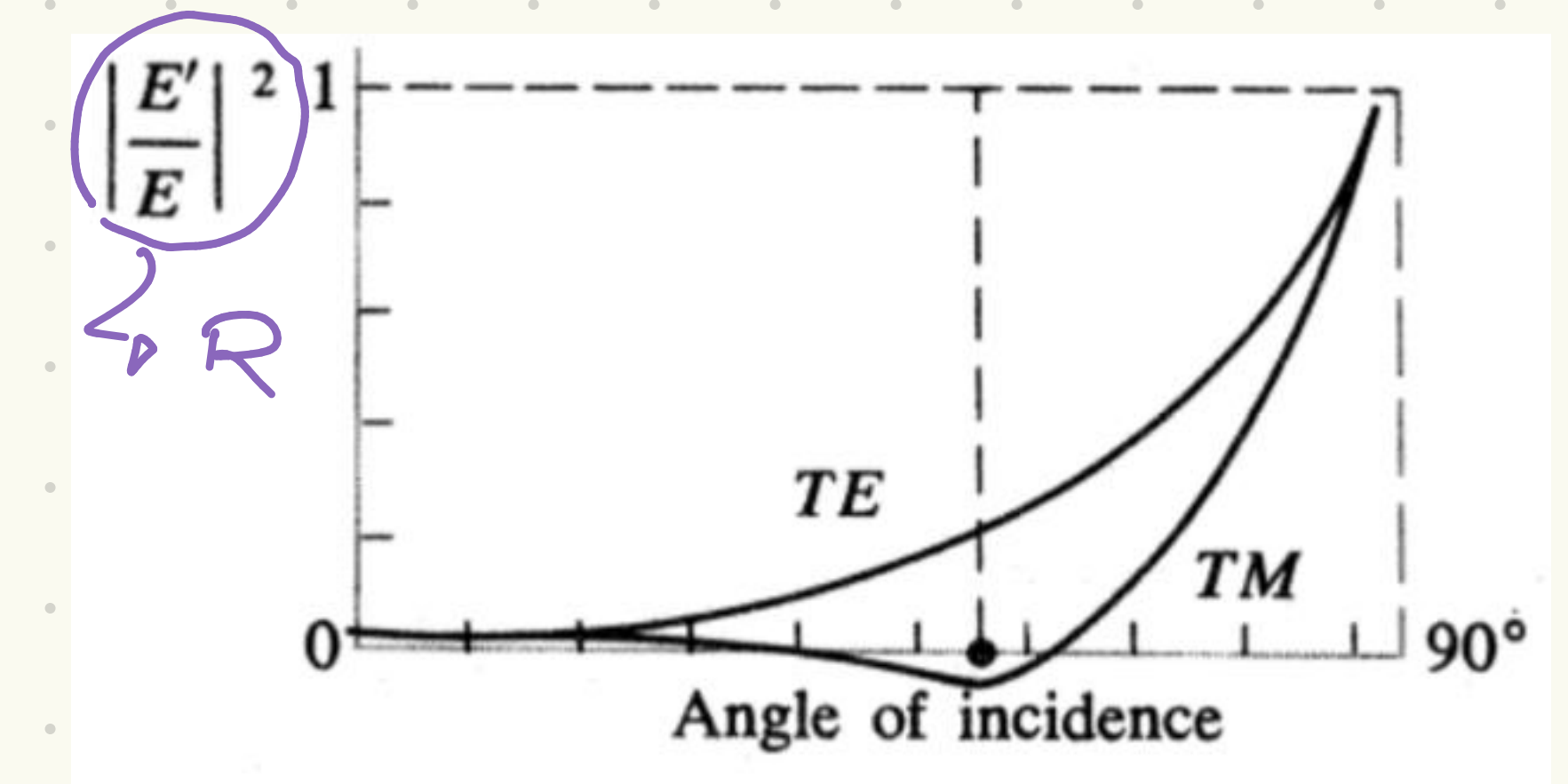
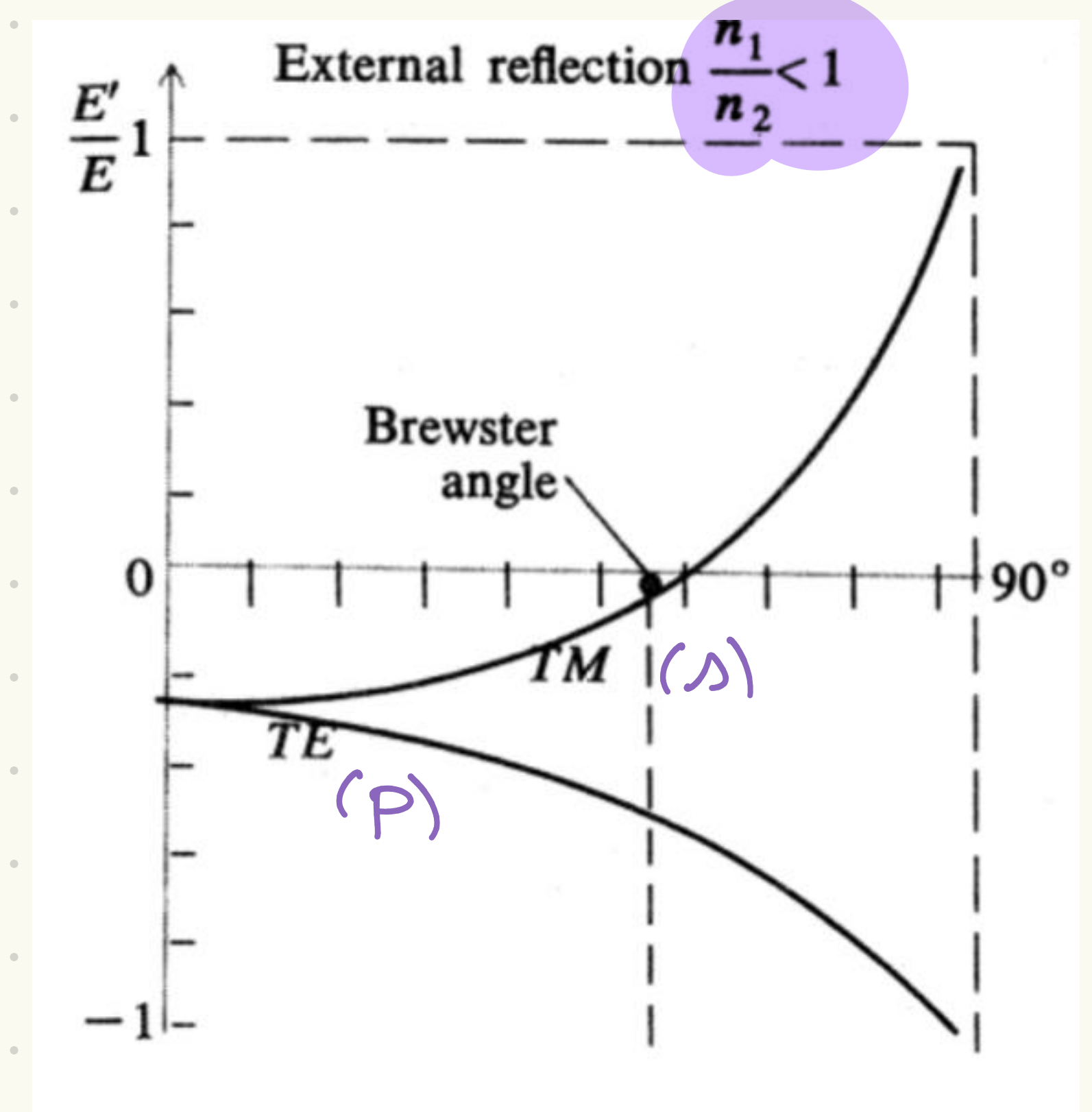
$$\Theta_B = \operatorname{tg}^{-1} \left(\frac{n_2}{n_1} \right)$$

Ex. Usando os dados da p/ vidro: $\Theta_B \approx 57^\circ$

$$n_1 = 1,0 ; n_2 = 1,5$$

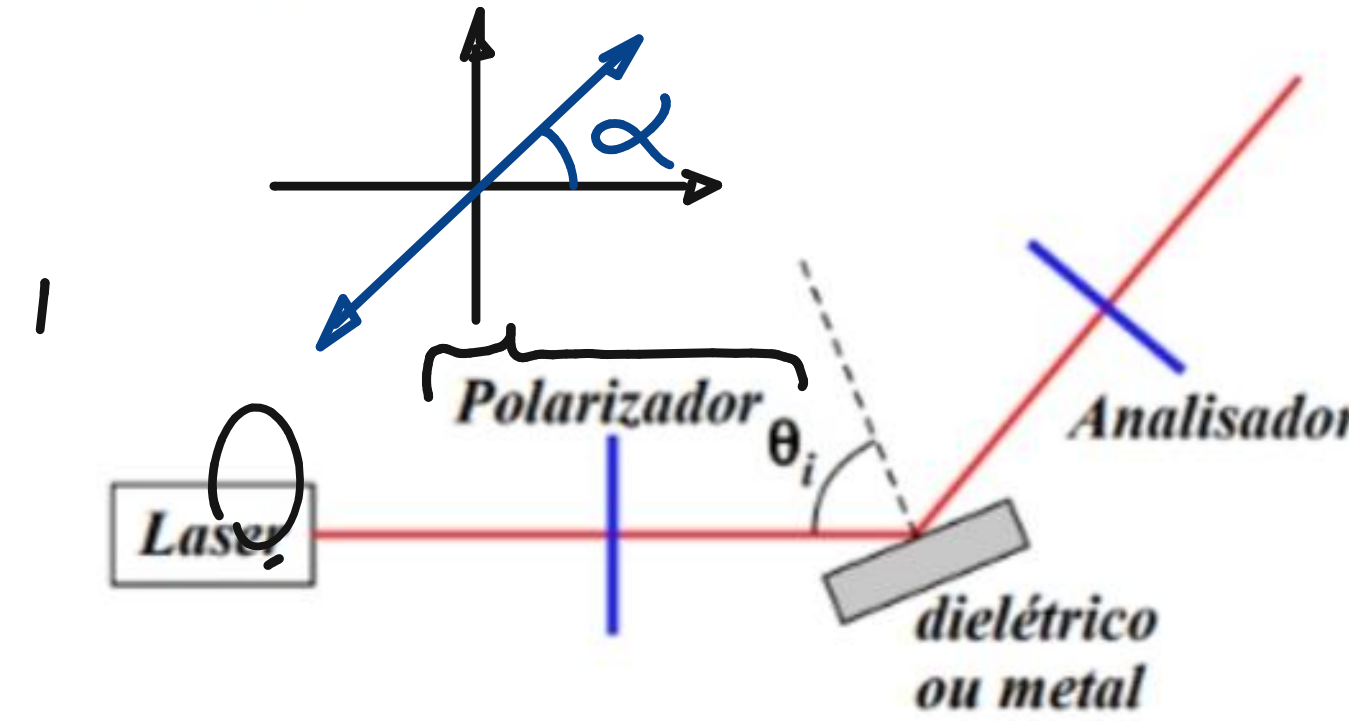


cond: $n_2 > n_1$



montagem do experimento - elipsometria:

- Podemos analisar a polarização da luz refletida por um material para estudar as suas propriedades ópticas



- Vetor de Jones para a luz que chega no detector

$$\begin{pmatrix} \cos^2 \theta & \sin \theta \cos \theta \\ \sin \theta \cos \theta & \sin^2 \theta \end{pmatrix}$$

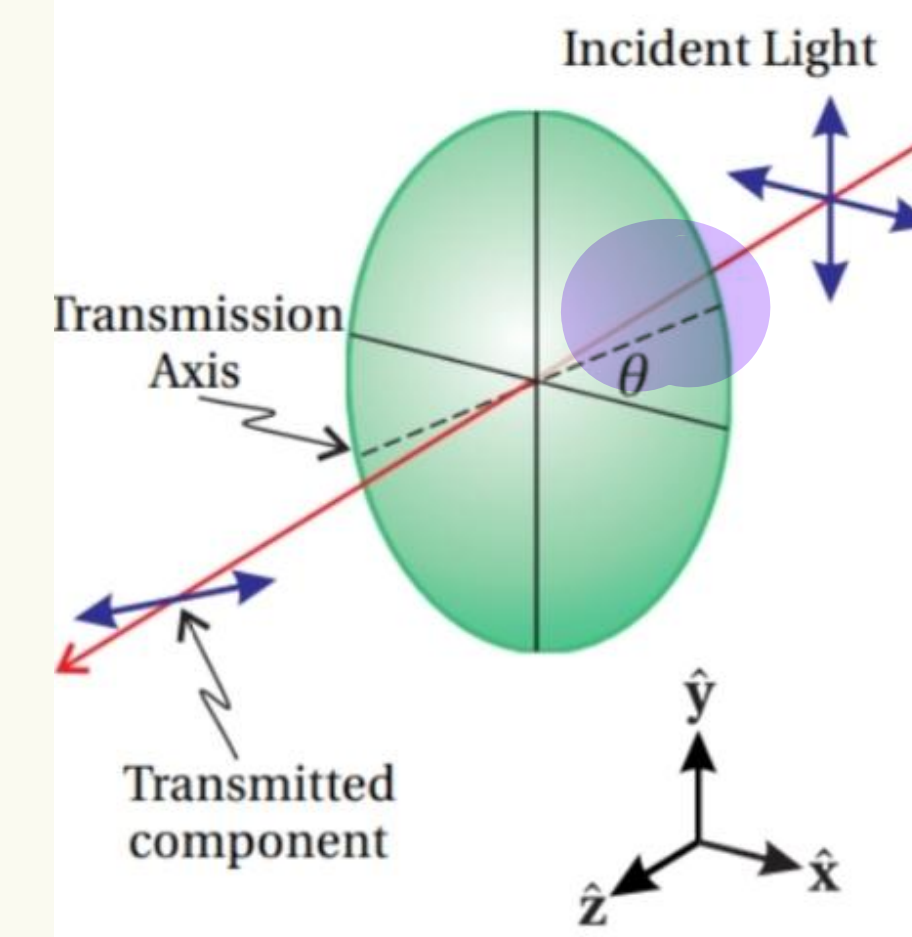
$$\begin{pmatrix} -r_p & 0 \\ 0 & r_s \end{pmatrix}$$

$$\begin{pmatrix} \cos \alpha \\ \sin \alpha \end{pmatrix}$$

reflexão no
dielétrico

onde inc.
no dielétricos

pol. da onda cing. θ
arbitraria se relaciona
pol. da luz incidente
(polarizada analisada)



montagem do experimento - elipsometria:

$$\begin{pmatrix} \cos^2 \theta & \sin \theta \cos \theta \\ \sin \theta \cos \theta & \sin^2 \theta \end{pmatrix} \begin{pmatrix} -r_p & 0 \\ 0 & r_s \end{pmatrix} \begin{pmatrix} \cos \alpha \\ \sin \alpha \end{pmatrix} = \\ = \begin{pmatrix} -r_p \cos \alpha \cos^2 \theta + r_s \sin \alpha \sin \theta \cos \theta \\ -r_p \cos \alpha \sin \theta \cos \theta + r_s \sin \alpha \sin^2 \theta \end{pmatrix}$$

$$I \propto |-r_p \cos \alpha \cos^2 \theta + r_s \sin \alpha \sin \theta \cos \theta|^2 + |-r_p \cos \alpha \sin \theta \cos \theta + r_s \sin \alpha \sin^2 \theta|^2 =$$

$$= |r_p|^2 \cos^2 \alpha \cos^2 \theta + |r_s|^2 \sin^2 \alpha \sin^2 \theta - \frac{(r_p r_s^* + r_s r_p^*)}{4} \sin 2\alpha \sin 2\theta$$

Subst. de variáveis
de tec. de elipsometria:

- Fazendo essa substituição podemos escrever

$$I = I_0(1 - \eta \sin 2\theta + \xi \cos 2\theta)$$

- onde

$$\eta \equiv 2 \frac{\tan \Psi \cos \Delta \tan \alpha}{\tan^2 \Psi + \tan^2 \alpha}$$

$$\text{e } \xi = \frac{\tan^2 \Psi - \tan^2 \alpha}{\tan^2 \Psi + \tan^2 \alpha}$$

α : ang. da polarização
do luz inc. no delâtrico

2. wmos ficar a 45°
 $\left\{ \begin{array}{l} 50\% \text{ onde P} \\ 50\% \text{ onde S} \end{array} \right.$

θ : ang. dos polarizados
analizados c/ respeito à
polarizações de entrada

2. θ via

$\text{tg } \Psi$: amplitude de $\frac{r_p}{r_s}$

Δ : fase de "

montagem do experimento - ellipsometria:

- Os dados de intensidade podem ser ajustados através da expressão

$$I = I_0(1 - \eta \sin 2\theta + \xi \cos 2\theta) \quad \left. \right\} \text{eq. de ajuste}$$

- Determinando-se os valores de I_0 , η e ξ podemos determinar

$$\tan \Psi = \sqrt{\frac{1+\xi}{1-\xi}} |\tan \alpha|$$

e

$$\cos \Delta = \frac{\eta}{\sqrt{1-\xi^2}} \text{sinal}(\alpha)$$

- e com isso podemos obter

$$\frac{r_p}{r_s} \equiv \tan \Psi e^{i\Delta}$$



$$r_p = \frac{\tan(\theta_i - \theta_t)}{\tan(\theta_i + \theta_t)}$$

e

$$r_s = -\frac{\sin(\theta_i - \theta_t)}{\sin(\theta_i + \theta_t)}$$

- e a Lei de Snell

dos eqs. de Fresnel

$$n_i \sin \theta_i = n_t \sin \theta_t$$

- podemos obter o índice de refração do meio

$$n_t^2 = n_i^2 \sin^2 \theta_i \left[1 + \tan^2 \theta_i \frac{(\cos 2\Psi - i \sin 2\Psi \sin \Delta)^2}{(1 + \sin 2\Psi \cos \Delta)^2} \right]$$

$$r_p = \left. \frac{\tilde{E}_{OR}}{\tilde{E}_{Oi}} \right|_P; \quad r_s = \left. \frac{\tilde{E}_{OR}}{\tilde{E}_{Oi}} \right|_S$$

$$\text{logr}, \frac{r_p}{r_s} = \left. \frac{\tilde{E}_{OR}}{\tilde{E}_{Oi}} \right|_P; \quad \Delta \text{ é a fase entre os comp. de rempo } \tilde{E} \perp, // \text{ ao P.I.}$$

$$\text{Sinal}(\alpha) = \begin{cases} -1: \alpha < 0 \\ 0: \alpha = 0 \\ 1: \alpha > 0 \end{cases}$$

lembremos que:

montagem do experimento - elipsometria:

$$n_t^2 = n_i^2 \operatorname{sen}^2 \theta_i \left[1 + \tan^2 \theta_i \frac{(\cos 2\Psi - i \operatorname{sen} 2\Psi \operatorname{sen} \Delta)^2}{(1 + \operatorname{sen} 2\Psi \cos \Delta)^2} \right]$$

- n_t é real $\Rightarrow \operatorname{sen} \Delta = 0$
- e $\cos \Delta = -1$ para $\theta_i < \theta_B$ e $\cos \Delta = 1$ para $\theta_i > \theta_B$
- então

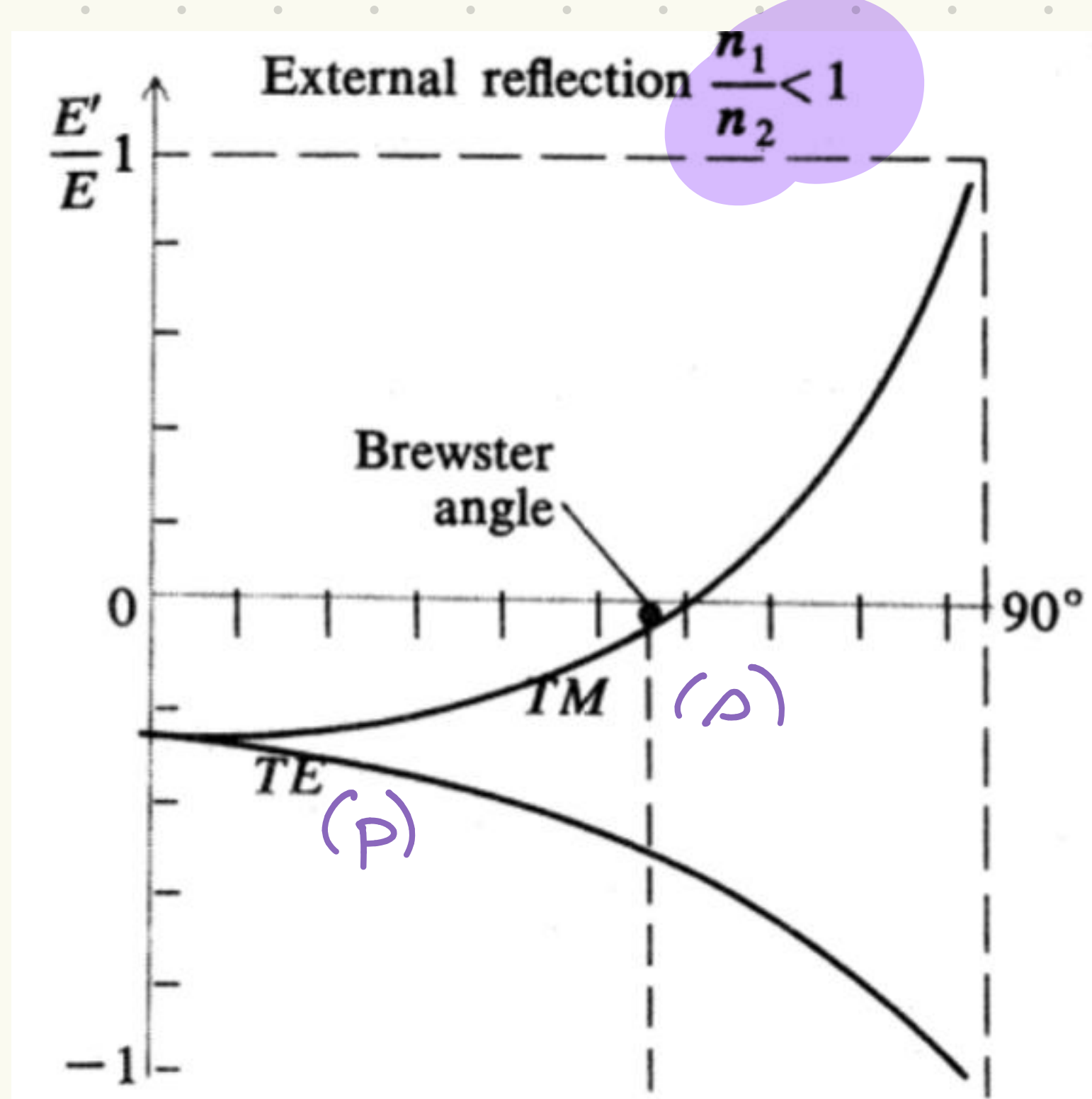
$$n_t^2 = n_i^2 \operatorname{sen}^2 \theta_i \left[1 + \tan^2 \theta_i \frac{\cos^2 2\Psi}{(1 + \operatorname{sen} 2\Psi \cos \Delta)^2} \right]$$

Lembando que :

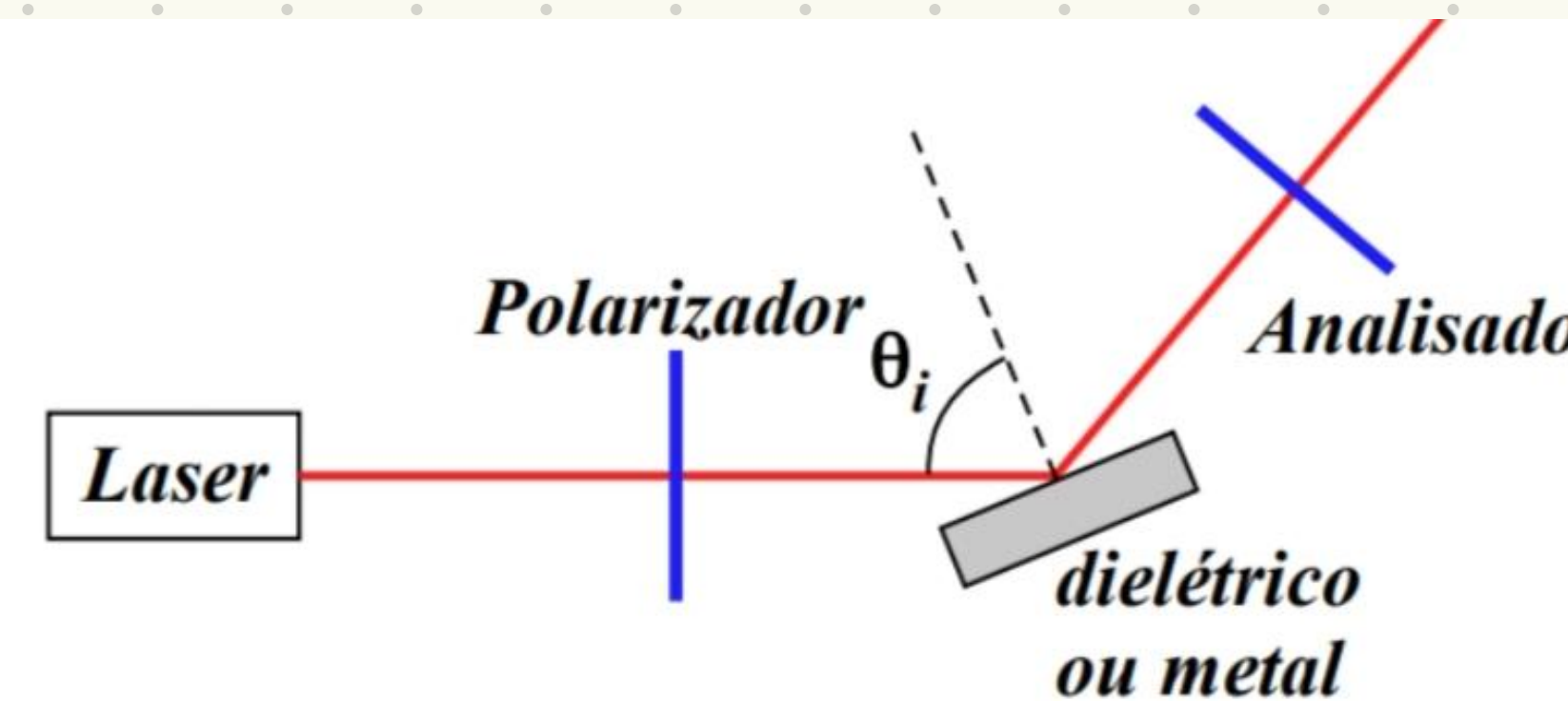
$$\frac{r_p}{r_s} \equiv \tan \Psi e^{i\Delta}$$

Lembando que :

cond: $n_2 > n_1$



Atividade :



- O polarizador na frente do laser foi colocado em $\alpha = 45^\circ$

- Foram medidas as intensidades de reflexão através do polarizador analisador para três ângulos de incidência
 - $\theta_i = 35, 50$ e 70 graus
- Ajuste as curvas medidas e determine os valores de η e ξ para cada ângulo de incidência
- Utilize esses valores na planilha “CÁLCULO DE n DIELÉTRICO EXP” e determine o índice de refração do dielétrico
- Qual o tipo de polarização da onda refletida? Qual a mudança na polarização com a variação do ângulo de incidência?
- Avalie a compatibilidade dos índices obtidos e determine o seu valor
- Utilize o valor do índice de refração e determine o ângulo de Brewster do material

Referências:

- David J. Griffiths - Introduction to Electrodynamics
- Justin Beilman and Michael Ware - Physics of Light and Optics